TROY TECHNICAL

バイオセンサー
ウィークリーレポート

2026年11月14日-11月20日 | Issue 2026-W46

分析妥当性、臨床有用性、業務導線、償還の接続

11	10
分析対象	重点テーマ

発行 2026-11-20 | 日本語版 | 承認済み固定表紙



バイオセンサー:個別発表から認定証拠へ境界が移動

日本語記事11件を棚卸しし、意思決定に重要なテーマを選定した。

シグナル 01 | 生体認識

Tandem Mobi|世界最小のAIDシステム、チューブレス版の性能と発売時期

FDAがTandem Mobiのチューブレス版を承認した。最大7日間装着可能な世界初のチューブレス自動インスリン注入(AID)システムであり、世界最小のインスリンポンプとしても展開される。これにより、ユーザーはチューブありとチューブレスのいずれかを選択でき、糖尿病管理における柔軟性が向上する。

シグナル 02 | 信号変換

RES-Qとは|注射可能な閉ループ治療プラットフォームの性能と救命メカニズム

注射可能なバイオエレクトロニクスネットワーク「RES-Q」が開発されました。ウェアラブルセンサーと皮下埋込型の自動注入器を組み合わせ、フェンタニルによる過剰摂取を検知して6分以内に自律的な救命処置を行うことが可能です。これにより、意識を失い自力で薬剤を投与できない患者への迅速な介入が期待されます。

シグナル 03 | デバイス

AFP・CEA同時検出LFIA|軽量機械学習によるオンサイトスクリーニングの性能

AFP(α-フェトプロテイン)とCEA(癌胎児性抗原)を同時にオンサイトでスクリーニング可能な、軽量機械学習支援型のデュアルライン・ラテラルフロー免疫測定法(LFIA)が開発されました。KNN分類器による濃度層別化の正解率は両指標とも0.91に達し、GPRモデルを用いた定量分析ではCEAでR2=0.932、AFPでR2=0.902という高い相関を示しています。スマートフォンと機械学習を組み合わせたワークフローにより、従来の目視判定を超えた客観的な半定量・定量分析が可能になります。

シグナル 04 | 臨床導線

ナノメッシュ皮膚センサ|東京大学が開発した指先密着型センサの性能と応用先

東京大学の研究グループが、皮膚上に直接形成でき、指先のような複雑な曲面にも密着するナノメッシュ皮膚センサを開発しました。カーボンナノチューブとEVOHを混ぜた独自インクを電界紡糸法で噴射し、直径約460ナノメートルの導電性繊維を直接積み重ねる手法を実現しています。これにより、従来のフィルム型センサで課題だった指先のしわや浮きによる接触不良を解消しました。今後はバイタルモニタリングやVR/AR機器の直感的な操作インターフェースへの応用が見込まれます。

編集判断

今週の経営判断は 分析妥当性、臨床有用性、業務導線、償還の接続 に集中する。自社条件で関連証拠を再現できる場合だけ次へ進む。

経営の3アクション

1. 事業会社: 用途、比較法、誤判定コスト、測定後の行動を先に定義する.
2. 供給企業: 感応材料とデバイスを校正、安定性、量産性、データ完全性へ接続する.
3. 経営層: 検体差、特異度、ドリフト、臨床評価、規制、支払.

証拠の読み方

FACTは収集記事に書かれた内容、事業への読みとACTIONは編集判断、UNKNOWNは記事だけでは確定しない項目を示す。リンク先があることだけで、全主張が独立検証済みとは扱わない。

条件と一緒に読む主要数値・証拠

7日
A06

数値の条件
FDAがTandem Mobiのチューブレス版を承認した。最大7日間装着可能な世界初のチューブレス自動インスリン注入(AID)システムであり、世界最小のインスリンポンプとしても展開される。これにより、ユーザーはチューブありとチューブレスのいずれかを選択でき、糖尿病管理における柔軟性が向上する。

6分
A04

数値の条件
注射可能なバイオエレクトロニクスネットワーク「RES-Q」が開発されました。ウェアラブルセンサーと皮下埋込型の自動注入器を組み合わせ、フェンタニルによる過剰摂取を検知して6分以内に自律的な救命処置を行うことが可能です。これにより、意識を失い自力で薬剤を投与できない患者への迅速な介入が期待されます。

20分
A07

数値の条件
ノースウェスタン大学の研究チームが、舌スワブまたは喀痰(かくたん)を用いて20分以内に結果を判定できる結核の迅速診断アッセイを開発した。このテストは、既存のポイントオブケア(POC)デバイスであるDASH Rapid PCR Systemで動作し、結核菌(Mycobacterium tuberculosis)を検出する。従来の喀痰採取が困難な患者への対応や、医療インフラが不十分な遠隔地での即日診断・治療開始を可能にする。

95.3%
A03

数値の条件
スマートフォンアプリ「TiraSpot」を用いた、多様なラテラルフロー分析(LFA)結果のデジタル判定AIモデルが開発されました。未知のLFAタイプに対する判定において、2本目のバンド検出でAUC 95.3%、50枚の追加学習後はAUC 99.4%という高い精度を達成しています。これにより、判定ミスや報告漏れといった人的エラーを削減し、標準化されたデジタル報告による疾患監視体制の向上が期待されます。

数値の読み方
数値は収集記事が示した条件と一緒に掲載する。試験法、寸法、温度、商用段階が異なる値を、条件補正なしで比較しない。

バリューチェーンはどこで動いたか

各段階に主テーマと補助テーマを接続する。矢印は装飾ではなく、次工程へ渡す証拠を示す。

1 生体認識

P01/P06

FDAがTandem Mobiのチューブレス版を承認した。最大7日間装着可能な世界初のチューブレス自動インスリン注入(AID)システムであり、世界最小のインスリンポンプとしても展開される。

2 信号変換

P02/P07

注射可能なバイオエレクトロニクスネットワーク「RES-Q」が開発されました。ウェアラブルセンサーと皮下埋込型の自動注入器を組み合わせ、フェンタニルによる過剰摂取を検知して6分以内に自律的な救命処置を行うことが可能です。

3 デバイス

P03/P08

AFP(α-フェトプロテイン)とCEA(癌胎児性抗原)を同時にオンサイトでスクリーニング可能な、軽量機械学習支援型のデュアルライン・ラテラルフロー免疫測定法(LFIA)が開発されました。KNN分類器による濃度層別化の正解率は両指標とも0.

4 臨床導線

P04/P09

東京大学の研究グループが、皮膚上に直接形成でき、指先のような複雑な曲面にも密着するナノメッシュ皮膚センサを開発しました。

5 データ・償還

P05/P10

カナダの研究チームが、皮膚下の間質液を用いて心筋損傷の指標となる心筋トロポニンI(cTnI)を連続的にモニタリングできる低侵襲なウェアラブルバイオセンサーを開発した。

各受渡しで必要な証拠

生体認識 → 信号変換	試験条件、受入基準、故障データ、担当、判断日を渡し、再確認する: 検体差、特異度、ドリフト、臨床評価、規制、支払.
信号変換 → デバイス	試験条件、受入基準、故障データ、担当、判断日を渡し、再確認する: 検体差、特異度、ドリフト、臨床評価、規制、支払.
デバイス → 臨床導線	試験条件、受入基準、故障データ、担当、判断日を渡し、再確認する: 検体差、特異度、ドリフト、臨床評価、規制、支払.
臨床導線 → データ・償還	試験条件、受入基準、故障データ、担当、判断日を渡し、再確認する: 検体差、特異度、ドリフト、臨床評価、規制、支払.

共通管理点

担当者が関連証拠を再現し、次を記録するまで商用判断へ進めない: 検体差、特異度、ドリフト、臨床評価、規制、支払.

プライオリティマップ:実装成熟度と次の判断場所



P01	Tandem Mobi|世界最小のAIDシステム、チューブレス版の性能と発売時期 システム・導入 | 根拠: システム
P02	RES-Qとは|注射可能な閉ループ治療プラットフォームの性能と救命メカニズム 技術・工程 | 根拠: 統合・事業語なし
P03	AFP・CEA同時検出LFIA|軽量機械学習によるオンサイトスクリーニングの性能 技術・工程 | 根拠: 統合・事業語なし
P04	ナノメッシュ皮膚センサ|東京大学が開発した指先密着型センサの性能と応用先 技術・工程 | 根拠: 統合・事業語なし
P05	心筋トロポニンIウェアラブルセンサー|cTnI連続モニタリングの性能と実用化展望 システム・導入 | 根拠: システム
P06	FMWPとは|CNTドープイオン膜を用いたウェアラブルパッチの性能と計測可能信号 システム・導入 | 根拠: 統合
P07	DASH MTBとは|結核の舌スワブ迅速診断テスト、20分で判定可能な性能と仕組み 事業・制度・供給 | 根拠: インフラ
P08	TiraSpot|AI搭載スマホアプリによるラテラルフロー分析の判定精度と汎用性 事業・制度・供給 | 根拠: 標準
P09	PFAS検出センサー|沖縄科学技術大学院大学が開発した布製デバイスの性能と仕組み システム・導入 | 根拠: 統合
P10	PPy@Ti3C2ナノ複合体|鉛イオン検出センサーの感度と検出限界0.09 μMの性能 技術・工程 | 根拠: 統合・事業語なし

再現可能な配置ルール
横軸は研究・試作・共同評価・製品採用・量産の5段階。縦の帯は次の判断場所を技術・工程、システム・導入、事業・制度・供給に分ける。まず記事見出しの根拠語を使い、見出しで判断できない場合だけ概要を参照する。上下は影響の大小を意味しない。円径は編集スコアを示す。

FACTは収集記事に接続し、事業への読み、ACTION、UNKNOWNは編集判断として分離する。

P01 Tandem Mobi|世界最小のAIDシステム、チューブレス版の性能と発売時期

A06 | 生体認識 | 量産

2026-11-17

FACT

FDAがTandem Mobiのチューブレス版を承認した。最大7日間装着可能な世界初のチューブレス自動インスリン注入(AID)システムであり、世界最小のインスリンポンプとしても展開される。これにより、ユーザーはチューブありとチューブレスのいずれかを選択でき、糖尿病管理における柔軟性が向上する。

なぜ重要か

判断上の焦点は「分析妥当性、臨床有用性、業務導線、償還の接続」である。見出しだけで採用せず、用途と運用条件で再現できるかを確認する。

事業への読み

事業会社は現在の認定・調達・製品ロードマップへの影響を比較する。材料・装置・技術企業は、感応材料とデバイスを校正、安定性、量産性、データ完全性へ接続する。

ACTION

30日以内に、用途、比較法、誤判定コスト、測定後の行動を先に定義する。結果と担当者をP01の評価票へ記録する。

UNKNOWN

記事だけでは確定しない項目: 検体差、特異度、ドリフト、臨床評価、規制、支払。

編集スコア 19/25 | 成熟度 5/5 | 判断場所: システム・導入

P02 RES-Qとは|注射可能な閉ループ治療プラットフォームの性能と救命メカニズム

A04 | 信号変換 | 試作

先行発表 2026-11-12

FACT

注射可能なバイオエレクトロニクスネットワーク「RES-Q」が開発されました。ウェアラブルセンサーと皮下埋込型の自動注入器を組み合わせ、フェンタニルによる過剰摂取を検知して6分以内に自律的な救命処置を行うことが可能です。これにより、意識を失い自力で薬剤を投与できない患者への迅速な介入が期待されます。

なぜ重要か

判断上の焦点は「分析妥当性、臨床有用性、業務導線、償還の接続」である。見出しだけで採用せず、用途と運用条件で再現できるかを確認する。

事業への読み

事業会社は現在の認定・調達・製品ロードマップへの影響を比較する。材料・装置・技術企業は、感応材料とデバイスを校正、安定性、量産性、データ完全性へ接続する。

ACTION

30日以内に、用途、比較法、誤判定コスト、測定後の行動を先に定義する。結果と担当者をP02の評価票へ記録する。

UNKNOWN

記事だけでは確定しない項目: 検体差、特異度、ドリフト、臨床評価、規制、支払。

編集スコア 19/25 | 成熟度 2/5 | 判断場所: 技術・工程

FACTは収集記事に接続し、事業への読み、ACTION、UNKNOWNは編集判断として分離する。

P03 AFP・CEA同時検出LFIA|軽量機械学習によるオンサイトスクリーニングの性能

A02 | デバイス | 試作

2026-11-19

FACT

AFP(α-フェトプロテイン)とCEA(癌胎児性抗原)を同時にオンサイトでスクリーニング可能な、軽量機械学習支援型のデュアルライン・ラテラルフロー免疫測定法(LFIA)が開発されました。KNN分類器による濃度層別化の正解率は両指標とも0.91に達し、GPRモデルを用いた定量分析ではCEAでR2=0.932、AFPでR2=0.902という高い相関を示しています。スマートフォンと機械学習を組み合わせたワークフローにより、従来の目視判定を超えた客観的な半定量・定量分析が可能になります。

なぜ重要か

判断上の焦点は「分析妥当性、臨床有用性、業務導線、償還の接続」である。見出しだけで採用せず、用途と運用条件で再現できるかを確認する。

事業への読み

事業会社は現在の認定・調達・製品ロードマップへの影響を比較する。材料・装置・技術企業は、感応材料とデバイスを校正、安定性、量産性、データ完全性へ接続する。

ACTION

30日以内に、用途、比較法、誤判定コスト、測定後の行動を先に定義する。結果と担当者をP03の評価票へ記録する。

UNKNOWN

記事だけでは確定しない項目: 検体差、特異度、ドリフト、臨床評価、規制、支払。

編集スコア 18/25 | 成熟度 2/5 | 判断場所: 技術・工程

P04 ナノメッシュ皮膚センサ|東京大学が開発した指先密着型センサの性能と応用先

A09 | 臨床導線 | 試作

2026-11-20

FACT

東京大学の研究グループが、皮膚上に直接形成でき、指先のような複雑な曲面にも密着するナノメッシュ皮膚センサを開発しました。カーボンナノチューブとEVOHを混ぜた独自インクを電界紡糸法で噴射し、直径約460ナノメートルの導電性繊維を直接積み重ねる手法を実現しています。これにより、従来のフィルム型センサで課題だった指先のしわや浮きによる接触不良を解消しました。今後はバイタルモニタリングやVR/AR機器の直感的な操作インターフェースへの応用が見込まれます。

なぜ重要か

判断上の焦点は「分析妥当性、臨床有用性、業務導線、償還の接続」である。見出しだけで採用せず、用途と運用条件で再現できるかを確認する。

事業への読み

事業会社は現在の認定・調達・製品ロードマップへの影響を比較する。材料・装置・技術企業は、感応材料とデバイスを校正、安定性、量産性、データ完全性へ接続する。

ACTION

30日以内に、用途、比較法、誤判定コスト、測定後の行動を先に定義する。結果と担当者をP04の評価票へ記録する。

UNKNOWN

記事だけでは確定しない項目: 検体差、特異度、ドリフト、臨床評価、規制、支払。

編集スコア 18/25 | 成熟度 2/5 | 判断場所: 技術・工程

FACTは収集記事に接続し、事業への読み、ACTION、UNKNOWNは編集判断として分離する。

P05 心筋トロポニンIウェアラブルセンサー|cTnI連続モニタリングの性能と実用化展望

A08 | データ・償還 | 試作

2026-11-18

FACT

カナダの研究チームが、皮膚下の間質液を用いて心筋損傷の指標となる心筋トロポニンI(cTnI)を連続的にモニタリングできる低侵襲なウェアラブルバイオセンサーを開発した。ハイドロゲルマイクロニードルと独自の抗体・アプタマーセンシングシステムを組み合わせることで、0.003-0.640 ng/mLという臨床的に有用な感度を実現している。これにより、術後の患者における「サイレント」な心筋損傷を、繰り返しの採血なしに動的に検知できる可能性がある。

なぜ重要か

判断上の焦点は「分析妥当性、臨床有用性、業務導線、償還の接続」である。見出しだけで採用せず、用途と運用条件で再現できるかを確認する。

事業への読み

事業会社は現在の認定・調達・製品ロードマップへの影響を比較する。材料・装置・技術企業は、感応材料とデバイスを校正、安定性、量産性、データ完全性へ接続する。

ACTION

30日以内に、用途、比較法、誤判定コスト、測定後の行動を先に定義する。結果と担当者をP05の評価票へ記録する。

UNKNOWN

記事だけでは確定しない項目: 検体差、特異度、ドリフト、臨床評価、規制、支払。

編集スコア 18/25 | 成熟度 2/5 | 判断場所: システム・導入

P06 FMWPとは|CNTドープイオン膜を用いたウェアラブルパッチの性能と計測可能信号

A05 | 生体認識 | 製品採用

先行発表 2026-11-13

FACT

アイオントロニック圧力センサとワイヤレス読み出し回路を統合した、柔軟で小型のウェアラブルパッチ(FMWP)が開発されました。CNTドープイオン膜と特殊な微細構造の採用により、2-450 kPaという広い線形範囲(R2 ~ 0.999)と高い感度(13.5 kPa-1)を実現しています。これにより、身体の動きに伴うドリフトを抑制し、脈拍や呼吸などの生理学的信号をリアルタイムでスマートフォン経由でモニタリングすることが可能です。

なぜ重要か

判断上の焦点は「分析妥当性、臨床有用性、業務導線、償還の接続」である。見出しだけで採用せず、用途と運用条件で再現できるかを確認する。

事業への読み

事業会社は現在の認定・調達・製品ロードマップへの影響を比較する。材料・装置・技術企業は、感応材料とデバイスを校正、安定性、量産性、データ完全性へ接続する。

ACTION

30日以内に、用途、比較法、誤判定コスト、測定後の行動を先に定義する。結果と担当者をP06の評価票へ記録する。

UNKNOWN

記事だけでは確定しない項目: 検体差、特異度、ドリフト、臨床評価、規制、支払。

編集スコア 18/25 | 成熟度 4/5 | 判断場所: システム・導入

FACTは収集記事に接続し、事業への読み、ACTION、UNKNOWNは編集判断として分離する。

P07 DASH MTBとは|結核の舌スワブ迅速診断テスト、20分で判定可能な性能と仕組み

A07 | 信号変換 | 共同評価

2026-11-19

FACT

ノースウェスタン大学の研究チームが、舌スワブまたは喀痰(かくたん)を用いて20分以内に結果を判定できる結核の迅速診断アッセイを開発した。このテストは、既存のポイントオブケア(POC)デバイスであるDASH Rapid PCR Systemで動作し、結核菌(Mycobacterium tuberculosis)を検出する。従来の喀痰採取が困難な患者への対応や、医療インフラが不十分な遠隔地での即日診断・治療開始を可能にする。

なぜ重要か

判断上の焦点は「分析妥当性、臨床有用性、業務導線、償還の接続」である。見出しだけで採用せず、用途と運用条件で再現できるかを確認する。

事業への読み

事業会社は現在の認定・調達・製品ロードマップへの影響を比較する。材料・装置・技術企業は、感応材料とデバイスを校正、安定性、量産性、データ完全性へ接続する。

ACTION

30日以内に、用途、比較法、誤判定コスト、測定後の行動を先に定義する。結果と担当者をP07の評価票へ記録する。

UNKNOWN

記事だけでは確定しない項目: 検体差、特異度、ドリフト、臨床評価、規制、支払。

編集スコア 18/25 | 成熟度 3/5 | 判断場所: 事業・制度・供給

P08 TiraSpot|AI搭載スマホアプリによるラテラルフロー分析の判定精度と汎用性

A03 | デバイス | 製品採用

2026-11-16

FACT

スマートフォンアプリ「TiraSpot」を用いた、多様なラテラルフロー分析(LFA)結果のデジタル判定AIモデルが開発されました。未知のLFAタイプに対する判定において、2本目のバンド検出でAUC 95.3%、50枚の追加学習後はAUC 99.4%という高い精度を達成しています。これにより、判定ミスや報告漏れといった人的エラーを削減し、標準化されたデジタル報告による疾患監視体制の向上が期待されます。

なぜ重要か

判断上の焦点は「分析妥当性、臨床有用性、業務導線、償還の接続」である。見出しだけで採用せず、用途と運用条件で再現できるかを確認する。

事業への読み

事業会社は現在の認定・調達・製品ロードマップへの影響を比較する。材料・装置・技術企業は、感応材料とデバイスを校正、安定性、量産性、データ完全性へ接続する。

ACTION

30日以内に、用途、比較法、誤判定コスト、測定後の行動を先に定義する。結果と担当者をP08の評価票へ記録する。

UNKNOWN

記事だけでは確定しない項目: 検体差、特異度、ドリフト、臨床評価、規制、支払。

編集スコア 18/25 | 成熟度 4/5 | 判断場所: 事業・制度・供給

FACTは収集記事に接続し、事業への読み、ACTION、UNKNOWNは編集判断として分離する。

P09 PFAS検出センサー|沖縄科学技術大学院大学が開発した布製デバイスの性能と仕組み

A10 | 臨床導線 | 試作

2026-11-14

FACT

沖縄科学技術大学院大学の研究チームが、水中のPFAS(ペルおよびポリフルオロアルキル物質)を迅速かつ正確に検出できる低コストな携帯型電気化学センサーを開発しました。布製の使い捨て電極に合成抗体として機能する分子刻印ポリマーを統合し、スマートフォンやPCで濃度を測定可能です。これにより、従来の外部研究所へのサンプル送付に伴う時間的・コスト的なボトルネックを解消し、現場での即時モニタリングが実現します。

なぜ重要か

判断上の焦点は「分析妥当性、臨床有用性、業務導線、償還の接続」である。見出しだけで採用せず、用途と運用条件で再現できるかを確認する。

事業への読み

事業会社は現在の認定・調達・製品ロードマップへの影響を比較する。材料・装置・技術企業は、感応材料とデバイスを校正、安定性、量産性、データ完全性へ接続する。

ACTION

30日以内に、用途、比較法、誤判定コスト、測定後の行動を先に定義する。結果と担当者をP09の評価票へ記録する。

UNKNOWN

記事だけでは確定しない項目: 検体差、特異度、ドリフト、臨床評価、規制、支払。

編集スコア 18/25 | 成熟度 2/5 | 判断場所: システム・導入

P10 PPy@Ti3C2ナノ複合体|鉛イオン検出センサーの感度と検出限界0.09 µMの性能

A11 | データ・償還 | 試作

2026-11-19

FACT

ポリピロールで機能化したTi3C2 MXeneナノ複合体を用いた、水中の有害な鉛(Pb2+)イオンを高感度に検出できる電気化学センサーが開発されました。この電極は2〜20 µMの濃度範囲で線形応答を示し、検出限界は0.09 µMを達成しています。化学的に残留しやすく健康被害を引き起こす鉛のモニタリングにおいて、効率的かつ信頼性の高い検出手法を提供します。

なぜ重要か

判断上の焦点は「分析妥当性、臨床有用性、業務導線、償還の接続」である。見出しだけで採用せず、用途と運用条件で再現できるかを確認する。

事業への読み

事業会社は現在の認定・調達・製品ロードマップへの影響を比較する。材料・装置・技術企業は、感応材料とデバイスを校正、安定性、量産性、データ完全性へ接続する。

ACTION

30日以内に、用途、比較法、誤判定コスト、測定後の行動を先に定義する。結果と担当者をP10の評価票へ記録する。

UNKNOWN

記事だけでは確定しない項目: 検体差、特異度、ドリフト、臨床評価、規制、支払。

編集スコア 18/25 | 成熟度 2/5 | 判断場所: 技術・工程

関係者別プレイブックと0-5年ロードマップ

関係者	NOW | 0-30日	NEXT | 1-12か月	LATER | 1-5年
事業会社	用途、比較法、誤判定コスト、測定後の行動を先に定義する	量産相当条件で受入基準と停止基準を明示して評価する。	技術・供給者の変更を吸収できるポートフォリオと設計へ移る。
材料・装置・技術企業	感応材料とデバイスを校正、安定性、量産性、データ完全性へ接続する	顧客と信頼性・工程窓・故障解析の共通データを作る。	界面、履歴、ライフサイクル支援、回収サービスを標準化する。
商社・投資・法務	Map 検体差、特異度、ドリフト、臨床評価、規制、支払.	能力、品質、変更通知、責任、代替、撤退を契約へ入れる。	地域・技術・顧客の集中リスクを分散する。

ロードマップ

NOW | 0-30日
証拠台帳
担当: Strategy + quality
成果物: claim, source, condition, owner

NOW | 0-30日
リスク選別
担当: Procurement + legal
成果物: unknowns, alternatives, stop

NEXT | 1-12か月
共同認定
担当: R&D + supplier
成果物: 工程窓・故障データ

NEXT | 1-12か月
商用ゲート
担当: Business + finance
成果物: 単位採算・供給能力

LATER | 1-5年
プラットフォーム戦略
担当: 経営
成果物: ポートフォリオ・界面ロードマップ

LATER | 1-5年
サービス層
担当: Operations + channel
成果物: 監視・保守・回復

Go / No-Goゲート

ゲート	担当	必要な証拠	中止条件
G1 証拠	品質	出典・試験条件・再現性	追跡可能な証拠なし
G2 統合	研究開発	界面・工程窓・故障解析	システム条件を満たさない
G3 商用	事業	能力・総原価・契約・代替	採算または供給が成立しない
G4 運用	運用	監視・保守・変更通知・撤退	責任ある運用計画なし

分析対象記事 | 01-11件目

全記事の正式タイトルと元記事URLを省略せず表示する。URLは折返しても全文を保持し、クリックできる。

ID	記事タイトル(全文)	元記事URL(全文・クリック可能)
A01	RT-LAMP-LFA|2026年Bundibugyoウイルス流行株の迅速検出法と性能	https://doi.org/10.64898/2026.11.09.765523
A02	AFP・CEA同時検出LFIA|軽量機械学習によるオンサイトスクリーニングの性能	https://doi.org/10.21203/rs.3.rs-11475122/v1
A03	TiraSpot|AI搭載スマホアプリによるラテラルフロー分析の判定精度と汎用性	https://doi.org/10.1371/journal.pgph.0005817
A04	RES-Qとは|注射可能な閉ループ治療プラットフォームの性能と救命メカニズム	https://doi.org/10.64898/2026.11.10.765435
A05	FMWPとは|CNTドープイオン膜を用いたウェアラブルパッチの性能と計測可能信号	https://doi.org/10.21203/rs.3.rs-11075373/v1
A06	Tandem Mobi|世界最小のAIDシステム、チューブレス版の性能と発売時期	https://beyondtype1.org/fda-clears-tubeless-tandem-mobi/
A07	DASH MTBとは|結核の舌スワブ迅速診断テスト、20分で判定可能な性能と仕組み	https://clpmag.com/disease-states/infectious-diseases/tuberculosis/tongue-swab-tuberculosis-test-delivers-results-20-minutes/
A08	心筋トロポニンIウェアラブルセンサー|cTnI連続モニタリングの性能と実用化展望	https://www.insideprecisionmedicine.com/topics/precision-medicine/wearable-biosensor-enables-continuous-monitoring-of-cardiac-troponin-i/
A09	ナノメッシュ皮膚センサ|東京大学が開発した指先密着型センサの性能と応用先	https://www.moguravr.com/tokyo-univ-nano-mesh/
A10	PFAS検出センサー|沖縄科学技術大学院大学が開発した布製デバイスの性能と仕組み	https://bioengineer.org/portable-fabric-sensor-quickly-and-accurately-detects-forever-chemicals-in-water/
A11	PPy@Ti3C2ナノ複合体|鉛イオン検出センサーの感度と検出限界0.09 µMの性能	https://bioengineer.org/functionalized-ti3c2-mxene-nanocomposite-enables-sensitive-electrochemical-detection-of-lead-ions/

バイオセンサー 採用記事全文集

出力日: 2026-11-22

採用記事数: 11 件

収録記事一覧

#01 RT-LAMP-LFA｜2026年Bundibugyoウイルス流行株の迅速検出法と性能
#02 AFP・CEA同時検出LFIA｜軽量機械学習によるオンサイトスクリーニングの性能
#03 TiraSpot｜AI搭載スマホアプリによるラテラルフロー分析の判定精度と汎用性
#04 RES-Qとは｜注射可能な閉ループ治療プラットフォームの性能と救命メカニズム
#05 FMWPとは｜CNTドープイオン膜を用いたウェアラブルパッチの性能と計測可能信号
#06 Tandem Mobi｜世界最小のAIDシステム、チューブレス版の性能と発売時期
#07 DASH MTBとは｜結核の舌スワブ迅速診断テスト、20分で判定可能な性能と仕組み
#08 心筋トロポニンIウェアラブルセンサー｜cTnI連続モニタリングの性能と実用化展望
#09 ナノメッシュ皮膚センサ｜東京大学が開発した指先密着型センサの性能と応用先
#10 PFAS検出センサー｜沖縄科学技術大学院大学が開発した布製デバイスの性能と仕組み
#11 PPy@Ti3C2ナノ複合体｜鉛イオン検出センサーの感度と検出限界0.09 μMの性能

#01 RT-LAMP-LFA｜2026年Bundibugyoウイルス流行株の迅速検出法と性能

公開日 2026年11月12日　bioRxiv　日本



概要

2026年のBundibugyoウイルス（BDBV）流行株を迅速に検出する検査法「RT-LAMP-LFA」が開発されました。この手法は、C-PASラテラルフロープラットフォームを用いることで、サンプル調製を除き約25分という短時間で結果を視覚的に判定可能です。高度な設備が不足している地域でのポイントオブケア（POC）診断への応用が期待されます。

詳細

主要成果

2026年のBundibugyoウイルス（BDBV）流行株を標的とした、逆転写ループ媒介等温増幅法とラテラルフローアッセイを組み合わせた迅速検出法（RT-LAMP-LFA）が開発されました。本手法は、1反応あたり10^3コピーという低濃度までBDBVのウイルスRNAを安定して増幅し、検出することに成功しています。また、他のウイルスや細胞由来のRNAサンプルを用いた試験において非特異的な増幅は見られず、高い分析特異性と感度を有することが実証されました。

技術・詳細

本技術の核心は、2026年の流行株のゲノム配列に基づいて設計されたLAMPプライマーにあります。設計段階において、利用可能なすべての2026年流行株ゲノム間でプライマー結合部位が保存されていることがin silico（コンピュータ上）で確認されました。

検出プロセスでは、以下のステップと技術が採用されています。

- **増幅手法：**RT-LAMP（逆転写ループ媒介等温増幅法）を用い、一定温度での増幅を実現。
- **検出プラットフォーム：**Chromatography-Printed Array Strip（C-PAS）ラテラルフロープラットフォームを採用し、増幅産物を視覚的に判定。
- **検証方法：**BDBVおよび他のフィロウイルスから得られたin vitro転写RNA（ivtRNA）、ならびにアルボウイルスや哺乳類細胞由来のRNAを用いて、特異性と感度を評価。

ワークフロー全体の所要時間は、サンプル調製時間を除いて約25分以内に完了します。

背景・業界の文脈

Bundibugyoウイルスはエボラ病を引き起こすフィロウイルスの一種です。新興および再興感染症の流行において、正確な診断は患者管理と感染拡大防止のための極めて重要な第一歩となります。しかし、従来の分子診断テストは専門的な設備や研究室のインフラを必要とするため、遠隔地や資源が限られた環境では検査へのアクセスが制限されるという課題がありました。

今後の展望

開発されたRT-LAMP-LFAは、迅速かつ簡素化されたアプローチでBDBV検出が可能であることを示しており、ポイントオブケア（POC）診断としての潜在的な有用性が示唆されました。今後は、実際の診断性能および実用性を確立するため、臨床検体を用いた評価や、フィールド環境下でのさらなる検証が必要とされています。

元記事: https://doi.org/10.64898/2026.11.09.765523

収集日: 2026年11月21日 | 自動記事収集・翻訳システム (AI使用)

#02 AFP・CEA同時検出LFIA｜軽量機械学習によるオンサイトスクリーニングの性能

公開日 2026年11月19日　Research Square

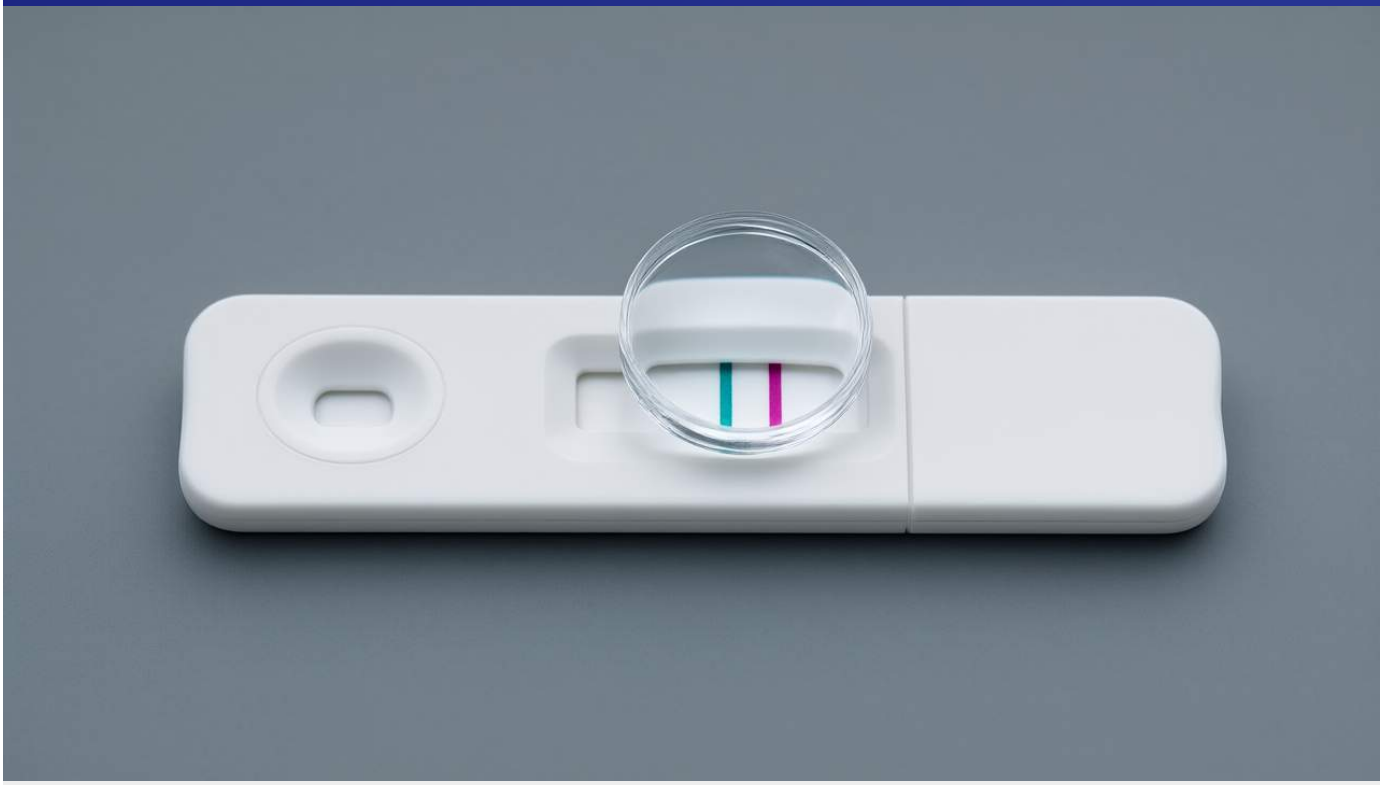

概要

AFP（α-フェトプロテイン）とCEA（癌胎児性抗原）を同時にオンサイトでスクリーニング可能な、軽量機械学習支援型のデュアルライン・ラテラルフロー免疫測定法（LFIA）が開発されました。KNN分類器による濃度層別化の正解率は両指標とも0.91に達し、GPRモデルを用いた定量分析ではCEAでR^2=0.932、AFPでR^2=0.902という高い相関を示しています。スマートフォンと機械学習を組み合わせたワークフローにより、従来の目視判定を超えた客観的な半定量・定量分析が可能になります。

詳細

主要成果

本研究では、AFPとCEAという2つのバイオマーカーを同時に検出できるデュアルラインLFIAシステムを構築し、機械学習を用いてその判定精度を大幅に向上させました。独立した血清テストセット（n=57）を用いた評価において、KNN（k近傍法）分類器による濃度区分の正解率は、CEAおよびAFPの両方で0.91を記録しました。また、ガウス過程回帰（GPR）を用いた定量分析では、CEAモデルでR^2=0.932（MSE=84.455）、AFPモデルでR^2=0.902（MSE=121.506）という高い精度を達成しています。

技術・詳細

システムの基盤となる金ナノ粒子（AuNPs）プローブは、透過型電子顕微鏡（TEM）により、抗体結合後も凝集なく楕円形の形態とコロイド安定性が維持されていることが確認されました。UV-vis吸収スペクトルでは、抗体結合に伴う局在表面プラズモン共鳴ピークのわずかなレッドシフトが観測されており、タンパク質吸着による局所屈折率の変化が裏付けられています。

最適化の結果、AFPおよびCEAの最適な抗体負荷量はともに6 μg mL^{-1}であり、ストリップの信号は約10分後にプラトーに達することが判明しました。画像解析においては、「背景補正済みRGB特徴量」を採用することで、照明の変化や背景の不均一性に対する堅牢性を確保しています。特異性試験では、各ターゲット分析物が対応するテストラインのみに反応し、非ターゲットバイオマーカーによる信号は認められず、低い交差反応性が示されました。

再現性と正確性の評価では、10, 100 ng mL^{-1}などの濃度で検証が行われました。CEAの変動係数（CV）は10 ng mL^{-1}で26.3%、100 ng mL^{-1}で0.13%と濃度依存的に変化し、回収率は115.0%から78.4%の範囲となりました。AFPのCVは11.15%から3.40%で、回収率は126.2%から72.4%でした。

背景・業界の文脈

LFIAは迅速な診断を可能にする一方で、目視による判定は主観的であり、特に濃度境界付近での識別が困難であるという課題がありました。本技術では、スマートフォンで撮影した画像から抽出した特徴量を軽量な機械学習モデル（KNNおよびGPR）に投入することで、視覚的な読み取りを超えた客観的な濃度層別化と連続的な定量分析を実現しています。

今後の展望

本ワークフローは、スマートフォンと軽量なアルゴリズムを組み合わせているため、高度な設備がない環境でのオンサイトスクリーニングへの適用が期待されます。今後は、検出限界付近での変動性の改善や、定量的なバイアスの低減などが、実用化に向けた焦点になると考えられます。

元記事: https://doi.org/10.21203/rs.3.rs-11475122/v1

収集日: 2026年11月21日 | 自動記事収集・翻訳システム (AI使用)

#03 TiraSpot｜AI搭載スマホアプリによるラテラルフロー分析の判定精度と汎用性

公開日 2026年11月16日　PLOS Global Public Health　アメリカ

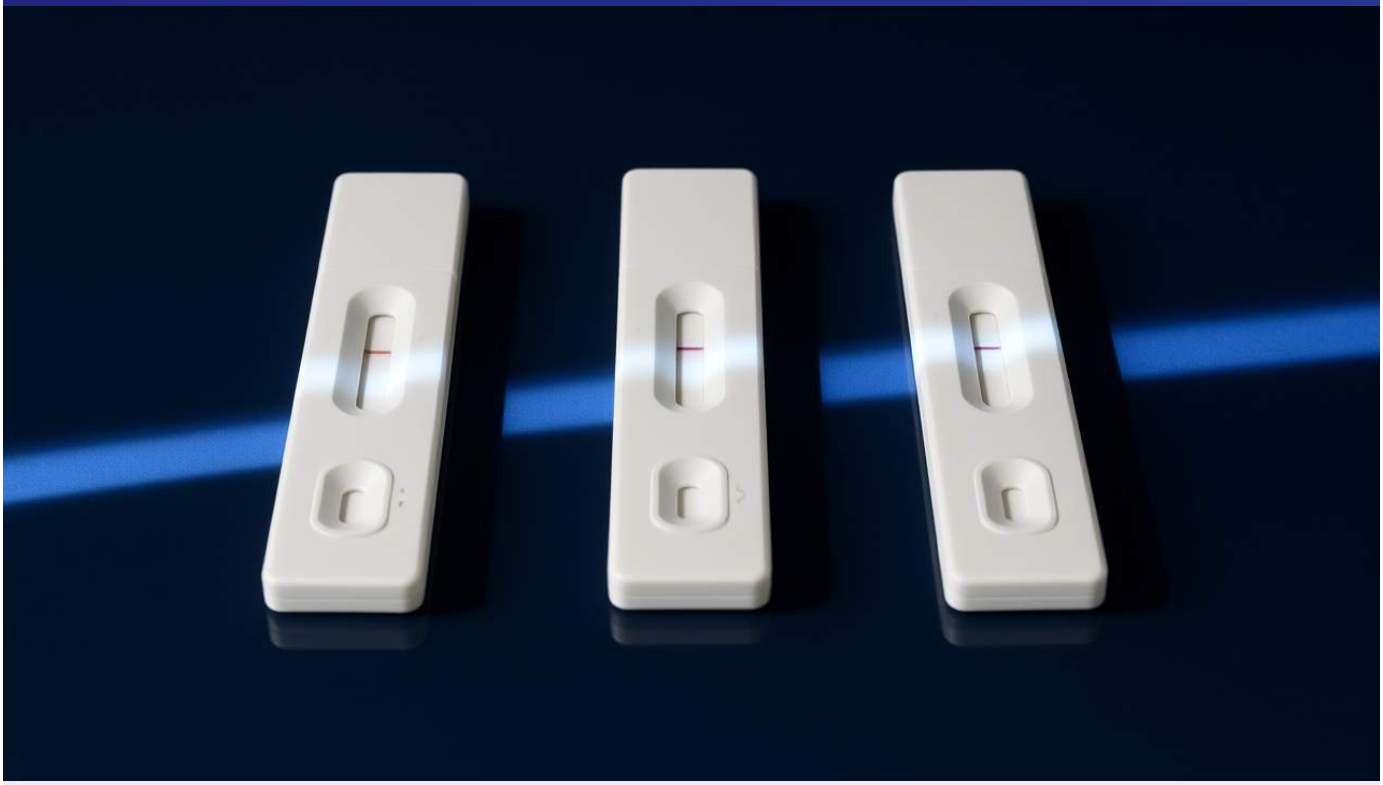

概要

スマートフォンアプリ「TiraSpot」を用いた、多様なラテラルフロー分析（LFA）結果のデジタル判定AIモデルが開発されました。未知のLFAタイプに対する判定において、2本目のバンド検出でAUC 95.3%、50枚の追加学習後はAUC 99.4%という高い精度を達成しています。これにより、判定ミスや報告漏れといった人的エラーを削減し、標準化されたデジタル報告による疾患監視体制の向上が期待されます。

詳細

主要成果

スマートフォンで撮影した画像から、多様な種類のラテラルフロー分析（LFA）の結果をデジタル化し、判定する汎用AIモデルの性能が実証されました。このシステムは、異なる疾患やメーカーによる2バンドおよび3バンドのテストを含む17種類のLFAを対象に評価されています。特に、開発段階で含まれていなかった未知のLFAタイプに対する判定能力において、2本目のバンド検出で全体的なAUC（曲線下面積）95.3%を記録しました。さらに、各LFAタイプにつき50枚の画像を加えて学習させたところ、精度は向上し、AUC 99.4%（感度 98.8%、特異度 98.2%）に達しています。

技術・詳細

本AIモデルの構築には、スペインのSpotlab社が開発したカスタムモバイルアプリケーション「TiraSpot」を用いて収集された、22,576枚の画像データセットが使用されました。これらの画像は、異なるスマートフォンモデルを用い、多様な照明条件下で撮影されたものです。モデルの汎用性を評価するため、「leave-one-out cross-validation（一つ抜き交差検証）」が適用され、特定のLFAタイプを意図的に学習から除外してテストを行う手法が採られました。また、推論データセットに対するブートストラップ法を用いて性能評価が行われています。

3本目のバンド検出については、学習データが少なかったため、未知のLFAに対するAUCは83.6%にとどまりましたが、50枚の画像で追加学習を行うことでAUC 94.05%（感度 93.08%、特異度 87.87%）まで改善されました。

背景・業界の文脈

LFAは、ポイント・オブ・ケア（POC）での迅速診断を可能にする不可欠なツールであり、世界中で年間数億回実施されています。ユーザーにとって使いやすく、コスト効率が高いため、リソースが限られた環境や分散型の医療設定において、感染症や非感染性疾患の管理に寄与しています。しかし、結果の解釈におけるユーザーの誤判定や、結果が適切に記録・報告されないといった課題が依然として存在しています。また、LFAの結果を患者の臨床記録や保健システムに統合できる電子プラットフォームが不足していることが、疾患のモニタリングやデータ追跡の妨げとなっていました。

今後の展望

本システムは、多様なテストタイプや撮影デバイスに適応できる汎用的なデジタルリーダーとしての実現可能性を示しました。これにより、診断の一貫性が向上し、特に監視や品質保証のために標準化された結果取得が必要な環境において、より正確なLFAの判定とデジタル報告が可能になります。結果として、多様な医療現場における疾患管理のサポートに寄与することが期待されます。

元記事: https://doi.org/10.1371/journal.pgph.0005817

収集日: 2026年11月21日 | 自動記事収集・翻訳システム (AI使用)

#04 RES-Qとは｜注射可能な閉ループ治療プラットフォームの性能と救命メカニズム

公開日 2026年11月12日　bioRxiv　アメリカ



概要

注射可能なバイオエレクトロニクスネットワーク「RES-Q」が開発されました。ウェアラブルセンサーと皮下埋込型の自動注入器を組み合わせ、フェンタニルによる過剰摂取を検知して6分以内に自律的な救命処置を行うことが可能です。これにより、意識を失い自力で薬剤を投与できない患者への迅速な介入が期待されます。

詳細

主要成果

ウェアラブルセンサーと注射可能な埋込型自動注入器で構成される閉ループ治療プラットフォーム「RES-Q」が開発されました。ラットを用いた試験において、ウェアラブルな光電脈波（PPG）センサーでフェンタニルの過剰摂取を検知し、6分未満で自律的な用量調整可能な救命処置を実行することに成功しています。また、豚を用いた試験では、イオン組織通信を用いて複数のインプラントを順次作動させることに成功しました。

技術・詳細

RES-Qのインプラントは、FDA（米国食品医薬品局）が承認している薬剤ロッドインプラントと同等のサイズであり、6ゲージの針に適合するため、外来での投与が容易な設計となっています。技術的な特徴は以下の通りです。

- **薬剤投与メカニズム：**インプラント周囲に形成される線維化（fibrotic encapsulation）による薬剤吸収の阻害を克服するため、小型ジェットインジェクターを採用しています。これにより、ヒトに相当する0.4 mgのナロキソン用量を線維化組織を透過して迅速に投与することが可能です。
- **通信方式：**ウェアラブルセンサーとインプラント間の通信には組織の導電性を利用しており、待機電流を25 nAに抑えています。これにより、長期的な機能維持を実現しています。

背景・業界の文脈

オピオイドの過剰摂取のような急性の疾患では、呼吸停止に至るまでの数分間のうちに救命薬であるナロキソンを投与する必要があります。しかし、意識を失った被害者が自ら薬剤を投与することは不可能であり、第三者による介入が不可欠です。既存の閉ループシステム（検知から投与までを自動で行うシステム）は装置が大きく、患者が受け入れにくいという課題がありました。RES-Qは、この「デバイスの嵩高さ」という課題を解決し、低侵襲な埋込型ネットワークとして構築されています。

今後の展望

本技術は、ナロキソンの投与以外にも、第三者の介入を必要とする急性の疾患に対する治療法を変える可能性があります。ウェアラブルセンサーによる常時監視と、皮下埋込型デバイスによる即時投与を組み合わせた閉ループシステムにより、救急処置の自動化と迅速化が進むことが期待されます。

元記事: https://doi.org/10.64898/2026.11.10.765435

収集日: 2026年11月21日 | 自動記事収集・翻訳システム (AI使用)

#05 FMWPとは｜CNTドープイオン膜を用いたウェアラブルパッチの性能と計測可能信号

公開日 2026年11月13日　Research Square



概要

アイオントロニック圧力センサとワイヤレス読み出し回路を統合した、柔軟で小型のウェアラブルパッチ（FMWP）が開発されました。CNTドープイオン膜と特殊な微細構造の採用により、2–450 kPaという広い線形範囲（R^2 ~ 0.999）と高い感度（13.5 kPa^{-1}）を実現しています。これにより、身体の動きに伴うドリフトを抑制し、脈拍や呼吸などの生理学的信号をリアルタイムでスマートフォン経由でモニタリングすることが可能です。

詳細

主要成果

研究チームは、皮膚に貼付して生理学的機械信号を連続的にモニタリングできる、統合型・柔軟・小型のウェアラブルパッチ（FMWP）を開発しました。このデバイスは、アイオントロニック圧力センサとワイヤレス読み出し回路を組み合わせており、スマートフォンベースでリアルタイムに多パラメータのモニタリングが可能です。具体的には、脈拍、呼吸、心臓の微小振動、および嚥下（飲み込み）などの生理学的信号を検出できる実用的なプラットフォームを提供します。

技術・詳細

本デバイスの核心となるセンサ部には、CNT（カーボンナノチューブ）をドープしたイオン膜が採用されています。この膜には両面に不規則な微細構造が施されており、圧力がかかると段階的に変形することで、接触面積のほぼ比例的な増加と、ハイブリッドなイオン・電子輸送を誘発します。これにより、以下の性能を達成しています。

- 感度：13.5 kPa^{-1}
- 線形範囲：2–450 kPa（決定係数 R^2 ~ 0.999）
- 応答速度：応答時間 6 ms、緩和時間 9 ms
- 耐久性：5,000回の負荷サイクル後も性能を維持

また、ベースライン容量を安定させ、プリロード（事前負荷）による接触を抑制するために、クアドラントグリッド（四分画格子）スペーサーが導入されています。回路側では、リジッドな電子アイランドを蛇行状の銅配線で接続する構造を採用し、機能部品周辺の変形を機械的に制限することで、身体の動きによる電気的変動（ドリフト）を抑制しています。さらに、パターン化された多孔質ファイバー層により、通気性の確保と、信頼性が高く取り外し可能な皮膚への密着性を両立させています。

背景・業界の文脈

従来のウェアラブル・ワイヤレスセンシングパッチは、臨床現場や日常生活での連続的なモニタリングを可能にする一方で、大きな課題を抱えていました。特に、日常活動中の身体の動きに伴うデバイスの変形が、線形性の制限やモーション誘発性のドリフト（信号の変動）を引き起こし、計測精度を低下させることが一般的でした。

今後の展望

本研究で開発されたFMWPは、高い線形性と動作安定性を備えているため、長期的な健康状態の評価に向けた実用的なプラットフォームになると期待されます。スマートフォンと連携したワイヤレスな読み出し系を備えているため、日常的な環境下での低侵襲な生理学的モニタリングへの応用が見込まれます。

元記事: https://doi.org/10.21203/rs.3.rs-11075373/v1

収集日: 2026年11月21日 | 自動記事収集・翻訳システム (AI使用)

#06 Tandem Mobi｜世界最小のAIDシステム、チューブレス版の性能と発売時期

公開日 2026年11月17日　Beyond Type 1　アメリカ



概要

FDAがTandem Mobiのチューブレス版を承認した。最大7日間装着可能な世界初のチューブレス自動インスリン注入（AID）システムであり、世界最小のインスリンポンプとしても展開される。これにより、ユーザーはチューブありとチューブレスのいずれかを選択でき、糖尿病管理における柔軟性が向上する。

詳細

主要成果

米国食品医薬品局（FDA）は、Tandem Mobiのチューブレス版を承認した。本システムは、最大7日間装着可能な世界初のチューブレス自動インスリン注入（AID）システムである。また、チューブあり・なしの両方で利用可能な世界最小のインスリンポンプとして位置づけられている。

技術・詳細

本システムは、新しいチューブレスカートリッジと注入セットを導入することで、既存のMobiインスリンポンプシステムをチューブレスデバイスに変換する。自動インスリン注入を実現する「Control-IQ+」テクノロジーはそのまま維持される。主な仕様は以下の通りである。

- 注入セット：最大7日間の装着が可能（インスリンカートリッジ自体の使用期限は3日間）
- インスリン容量：200ユニットのカートリッジを搭載（Omnipod 5と同等）
- 充電方式：誘導充電（ワイヤレス充電）に対応
- 防水性能：IP28定格の耐水性を備える
- データ管理：クラウドベースのプラットフォーム「Tandem Source」へワイヤレスでデータをアップロード可能
- 操作性：互換性のあるスマートフォン向け「Tandem Mobi」アプリで制御
- その他：サウナやホットタブ、運動などの活動時に一時的に切断できるオプションを搭載

搭載されているControl-IQ+テクノロジーは、互換性のある持続血糖測定（CGM）センサーの読み取り値を用いて30分後の血糖値を予測する。その後、5分ごとに基礎インスリン注入量を調整し、高血糖および低血糖の両方に対処する。また、血糖値が180mg/dLを超えた場合、1時間に1回まで自動補正ボラス（追加注入）を行う。

背景・業界の文脈

Tandem社のControl-IQテクノロジーは2019年にFDAの承認を受け、その後継機であるTandem Mobiは2023年に承認された。糖尿病コミュニティからは長年、装着方法の柔軟性、特にチューブレスオプションの提供が強く求められていた。本製品の登場により、Insulet社のOmnipod 5システムに続く新たな選択肢が提供されることになる。なお、Control-IQ+は2歳以上の1型糖尿病（T1D）患者および18歳以上の2型糖尿病（T2D）成人に適用される。

今後の展望

チューブレス版Tandem Mobiの米国でのフル商用ローンチは、2027年初頭に予定されている。既存のTandem Mobiユーザーは、現在のシステムが新しいチューブレス注入セットおよびカートリッジと互換性があるため、ポンプ本体を買い替える必要はない。また、チューブレスへの切り替えに際して、医療チームからの新しい処方箋を必要としない点も明記されている。

元記事: https://beyondtype1.org/fda-clears-tubeless-tandem-mobi/

収集日: 2026年11月21日 | 自動記事収集・翻訳システム (AI使用)

#07 DASH MTBとは｜結核の舌スワブ迅速診断テスト、20分で判定可能な性能と仕組み

公開日 2026年11月19日　Clinical Lab Products　アメリカ



概要

ノースウェスタン大学の研究チームが、舌スワブまたは喀痰（かくたん）を用いて20分以内に結果を判定できる結核の迅速診断アッセイを開発した。このテストは、既存のポイントオブケア（POC）デバイスであるDASH Rapid PCR Systemで動作し、結核菌（Mycobacterium tuberculosis）を検出する。従来の喀痰採取が困難な患者への対応や、医療インフラが不十分な遠隔地での即日診断・治療開始を可能にする。

詳細

主要成果

ノースウェスタン大学のエンジニアチームは、結核の迅速診断を可能にするポイントオブケア（POC）アッセイ「DASH MTB」を開発した。このテストの最大の特徴は、従来の標準的な検体である喀痰だけでなく、ほぼすべての患者から採取可能な「舌スワブ」を検体として利用できる点にある。判定時間は20分以内と極めて短く、専門的な検査設備がない現場での運用を想定して設計されている。

技術・詳細

DASH MTBは、同大学が以前に開発したPOCデバイス「DASH（Diagnostic Analyzer for Specific Hybridization）Rapid PCR System」上で動作し、結核の原因菌である結核菌（Mycobacterium tuberculosis）を検出する。性能面では、現在最も広く普及している分子診断テストであるCepheid社の「Xpert MTB/RIF Ultra」と同等の性能を示した。具体的には、真陰性の判定において精度100%、真陽性の判定において精度91%を達成している。

運用の簡便さについても最適化されており、非専門のスタッフが3つのステップでサンプルを処理し、テストカートリッジをアナライザーにロードするだけで自動検出が行われる。また、カートリッジは最高45℃（113℉）の温度環境下で保存安定性が確認されており、電力供給や冷蔵・空調設備が不安定な地域での利用に適している。

背景・業界の文脈

結核診断における最大の課題は、ゴールドスタンダードとされる細菌培養法に時間がかかり、技術的な難易度や汚染のリスクが高いことにある。また、最も菌量が多く推奨される検体である喀痰は、患者の最大3分の1が十分に採取できず、診断に至らないケースがある。さらに、喀痰採取に伴う咳は、空気中に数時間停滞する感染飛沫を散布するため、医療従事者や他の患者への感染リスクを高めるという問題があった。

世界保健機関（WHO）の報告によれば、2024年には123万人が結核で死亡している。特に、住居や栄養へのアクセスが不十分で、検査・治療体制が整っていない貧困地域において被害が深刻化している。

今後の展望

DASH MTBのような迅速かつ高感度なテストが普及すれば、遠隔地の患者であっても、一度の受診で診断から治療開始までを完結させる「即日診断・治療」が可能になる。本研究は、国立衛生研究所（NIH）およびビル&メリンダ・ゲイツ財団の支援を受けて行われた。開発を主導したSally McFall教授らのチームは、これまでにもCOVID-19やC型肝炎の迅速POCテストを開発しており、ワシントン大学やケープタウン大学、ステレンボッシュ大学との長期的な協力体制のもと、グローバルヘルス技術の社会実装を目指している。

元記事: https://clpmag.com/disease-states/infectious-diseases/tuberculosis/tongue-swab-tuberculosis-test-delivers-results-20-minutes/

収集日: 2026年11月21日 | 自動記事収集・翻訳システム (AI使用)

#08 心筋トロポニンIウェアラブルセンサー｜cTnI連続モニタリングの性能と実用化展望

公開日 2026年11月18日　Inside Precision Medicine　カナダ



概要

カナダの研究チームが、皮膚下の間質液を用いて心筋損傷の指標となる心筋トロポニンI（cTnI）を連続的にモニタリングできる低侵襲なウェアラブルバイオセンサーを開発した。ハイドロゲルマイクロニードルと独自の抗体・アプタマーセンシングシステムを組み合わせることで、0.003–0.640 ng/mLという臨床的に有用な感度を実現している。これにより、術後の患者における「サイレント」な心筋損傷を、繰り返しの採血なしに動的に検知できる可能性がある。

詳細

主要成果

カナダの研究チームは、心筋損傷の重要なバイオマーカーである心筋トロポニンI（cTnI）を連続的に測定可能なウェアラブルバイオセンサーを開発した。このデバイスは、皮膚の下から採取した間質液を用いてcTnIレベルを追跡する。Science Advances誌で報告された検証結果によると、本プラットフォームは0.003–0.640 ng/mLという広範なダイナミックレンジにおいて、臨床的に有用な感度でcTnIを選択的に検出することに成功した。

動物実験では、健康なマウスにおけるcTnIの用量依存的な上昇および下降を信頼性高く検出し、その測定値は連続的な採血による免疫測定法の結果と一致した。さらに、冠動脈疾患のマウスモデルにおいても内因的に上昇したcTnIを検出しており、連続的なタンパク質モニタリングおよび冠動脈疾患群の特定能力が実証されている。

技術・詳細

本デバイスは「Differential Aptalyzer」と呼ばれるプラットフォームに基づいており、低濃度のタンパク質バイオマーカーを測定するために設計されている。技術的な核心は、以下の要素を組み合わせた点にある。

- **ハイドロゲルマイクロニードルパッチ：** 微細なポリマーニードルが皮膚の直下に浸透し、間質液を収集してバイオセンサーに届ける。これにより低侵襲な装着が可能となった。
- **抗体とアプタマーのハイブリッドシステム：** 標的タンパク質（cTnI）を選択的に捕捉するための高親和性抗体と、可逆的かつ試薬不要な連続電気化学信号変換を可能にするアプタマー（抗体の核酸模倣体）を組み合わせた電極を採用している。

一般的に、ウェアラブルデバイスによるタンパク質の連続測定は、臨床的に重要なタンパク質が極めて低濃度で循環しているため困難とされてきたが、本システムは高親和性の捕捉プローブを用いることでこの課題を克服した。

背景・業界の文脈

心臓以外の手術を受ける患者は世界で年間約300万人（※元記事の300 million peopleに基づく）にのぼり、日帰り手術の数も増加している。しかし、術後の期間はリスクが高く、高リスク患者の約20%に心筋損傷が発生するとされる。これらの症例の約90%は自覚症状のない「サイレント」な状態で、診断には血液検査が不可欠である。しかし、患者がすでに帰宅している場合、繰り返しの採血によるモニタリングは困難である。

また、高感度なcTnIアッセイは既に存在するが、中央検査室でのワークフローやサンプリング、処理に伴う時間的な遅延が、多くの医療システムにおいて診断の遅れを招く要因となっている。

今後の展望

研究チームは、本プラットフォームが心筋損傷の評価を「エピソード的な検査」から「動的かつ準連続的なアセスメント」へと転換させるパラダイムシフトになると考えている。これにより、臨床的に重要な濃度変化から治療決定までの時間を短縮し、救急外来での待機時間の削減や、侵襲的治療への早期移行が可能になると期待される。

現在は術後のモニタリングに焦点を当てているが、今後は心筋梗塞や心不全に関連する他のタンパク質標的への拡張を計画している。また、カナダ保健研究機構（CIHR）からの資金援助を受けて追加試験を進めるとともに、スタートアップ企業であるAptec Healthを通じて商用化を目指している。

元記事: https://www.insideprecisionmedicine.com/topics/precision-medicine/wearable-biosensor-enables-continuous-monitoring-of-cardiac-troponin-i/

収集日: 2026年11月21日 | 自動記事収集・翻訳システム (AI使用)

#09 ナノメッシュ皮膚センサ｜東京大学が開発した指先密着型センサの性能と応用先

公開日 2026年11月20日　Mogura VR News　日本



概要

東京大学の研究グループが、皮膚上に直接形成でき、指先のような複雑な曲面にも密着するナノメッシュ皮膚センサを開発しました。カーボンナノチューブとEVOHを混ぜた独自インクを電界紡糸法で噴射し、直径約460ナノメートルの導電性繊維を直接積み重ねる手法を実現しています。これにより、従来のフィルム型センサで課題だった指先のしわや浮きによる接触不良を解消しました。今後はバイタルモニタリングやVR/AR機器の直感的な操作インターフェースへの応用が見込まれます。

詳細

主要成果

東京大学大学院工学系研究科の染谷隆夫教授、横田知之准教授、梁暁平特任研究員らの研究グループは、皮膚に直接形成可能なナノメッシュ皮膚センサの開発に成功しました。本成果は2026年11月16日付の英国科学誌「Nature Communications」に掲載されています。このセンサは、指紋の凹凸を含む複雑な曲面にもしわなく密着し、高精度な生体情報の計測を可能にする点が最大の特徴です。

技術・詳細

本技術では、カーボンナノチューブと生体適合性の高いエチレン-ビニルアルコール共重合体（EVOH）を配合した独自のインクを使用しています。このインクを、高電圧を用いて極細繊維を噴射・紡糸する「電界紡糸」装置から皮膚へ直接吹き付けることで、直径約460ナノメートルの導電性繊維を積み重ねてセンサを構築します。紡糸時に皮膚にかかる力は通常の会話の音圧と同等以下に抑えられており、低負荷での形成が可能です。

物理的特性および耐久性については、以下の性能が実証されています。

- 通気性：多孔質構造により、医療用テープを上回る通気性を実現。
- 放熱性：人体からの熱放射をほぼ100%透過し、自然な放熱を妨げない。
- 耐久性：大気中での保管、人工汗への15日間の浸漬、および1,000回の曲げ・伸縮試験後も安定した導電性を維持。

実証実験と計測精度

研究グループは、本プラットフォームを用いて複数の計測実証を行っています。指先への適用では、読書や計算課題時に発生する微細な発汗を高感度で検知したほか、物を掴む際の圧力をリアルタイムで測定する圧力センサを実現しました。また、前腕に3対の電極を形成して表面筋電図（皮膚表面から筋肉の電気活動を測る手法）を計測し、深層学習で解析した結果、7種類のハンドジェスチャーを平均97.8%の精度で識別することに成功しました。

背景と今後の展望

従来の皮膚貼付型センサは極薄フィルム型が主流でしたが、平らな基板で製作したものを転写するため、指先などの複雑な部位では浮きやしわが生じ、電気的接触が悪くなるという課題がありました。本技術は、繊維が曲がることで立体的な曲面に沿うため、この問題を根本的に解決しています。

今後は、日常的なバイタルサインやメンタルヘルスのモニタリングに加え、義手の制御やVR/AR機器を直感的に操作するためのヒューマン・マシン・インターフェースへの応用が期待されています。

元記事: https://www.moguravr.com/tokyo-univ-nano-mesh/

収集日: 2026年11月21日 | 自動記事収集・翻訳システム (AI使用)

#10 PFAS検出センサー｜沖縄科学技術大学院大学が開発した布製デバイスの性能と仕組み

公開日 2026年11月14日　BIOENGINEER.ORG　日本



概要

沖縄科学技術大学院大学の研究チームが、水中のPFAS（ペルおよびポリフルオロアルキル物質）を迅速かつ正確に検出できる低コストな携帯型電気化学センサーを開発しました。布製の使い捨て電極に合成抗体として機能する分子刻印ポリマーを統合し、スマートフォンやPCで濃度を測定可能です。これにより、従来の外部研究所へのサンプル送付に伴う時間的・コスト的なボトルネックを解消し、現場での即時モニタリングが実現します。

詳細

主要成果

沖縄科学技術大学院大学の研究チームは、水中に含まれる微量のPFAS（ペルおよびポリフルオロアルキル物質）を、現場で迅速かつ正確に特定できる低コストな携帯型電気化学センサーを開発しました。このシステムは、布製のストリップにスクリーン印刷された使い捨て電極と、特定の分子を認識する「分子刻印ポリマー」を組み合わせたものです。市販の電子リーダーを介してスマートフォンやノートパソコンに接続することで、従来の外部研究所に依存していた分析フローをバイパスし、オンサイトでのモニタリングを可能にしました。

技術・詳細

本デバイスの核心となるのは、生物学的受容体を模倣した分子刻印ポリマーです。研究チームはターゲットとなるPFAS分子の周囲にポリマー材料を構築し、その後テンプレート分子を除去することで、ターゲット化合物の寸法と形状に精密に一致する物理的な空洞（分子ポケット）を作成しました。この仕組みにより、二次的な化学試薬や複雑な前処理を必要とせず、液体サンプルから特定の分子を選択的に捕捉できます。

検出メカニズムは、分子の結合イベントを電気信号に変換する方式を採用しています。水中のターゲット分子がポリマー被覆センサーに結合すると、電極表面の電流に即座に変化が生じます。この電流変化の大きさが汚染物質の量に直接相関するため、高い電流変化は高濃度のPFAS存在を示します。ハードウェア面では、衣類へのグラフィック印刷と同様の手法を用い、数時間で100個の使い捨て電極を布地にスクリーン印刷しており、量産性の高さと低コスト化を実現しています。ユーザーは、3本の電極 prong が付いた白い布製ストリップを小型のポテンショスタット・ドングルに挿入し、それをデバイスに接続して濃度を確認します。

背景・業界の文脈

PFASは「フォーエバーケミカル（永遠の化学物質）」と呼ばれ、熱、油、水への耐性が極めて高く、環境中で分解されにくい特性を持ちます。世界的に10,000種類以上の関連物質が存在し、現在はそのうち50〜150種類が環境規制の対象となっています。これらは水路や土壌、生物に蓄積し、人間や生態系に深刻な影響を及ぼす懸念があります。従来の検出手法は、現場で採取したサンプルを質量分析計を備えた専門施設に送る必要があり、高コストで時間がかかるため、迅速な意思決定の妨げとなっていました。

今後の展望

今回の実験的な検証では、健康被害との関連が深く、最も普及しているPFASであるPFOS（ペルフルオロオクタンスルホン酸）とPFOA（ペルフルオロオクタン酸）に焦点を当てて有効性を実証しました。研究チームのMark Sullivan博士は、現在のプロトタイプはPFOSとPFOAに有効である一方、このアーキテクチャは他のPFAS化合物に合わせて構成変更が可能であると述べています。Perrine Lasserre博士は、こうした分散型テストの導入により、自治体や個人世帯が特定の地点に絞った浄化対策を講じることができ、環境修復へのハードルを根本的に下げられると指摘しています。

元記事: https://bioengineer.org/portable-fabric-sensor-quickly-and-accurately-detects-forever-chemicals-in-water/

収集日: 2026年11月21日 | 自動記事収集・翻訳システム (AI使用)

#11 PPy@Ti3C2ナノ複合体｜鉛イオン検出センサーの感度と検出限界0.09 μMの性能

公開日 2026年11月19日　BIOENGINEER.ORG

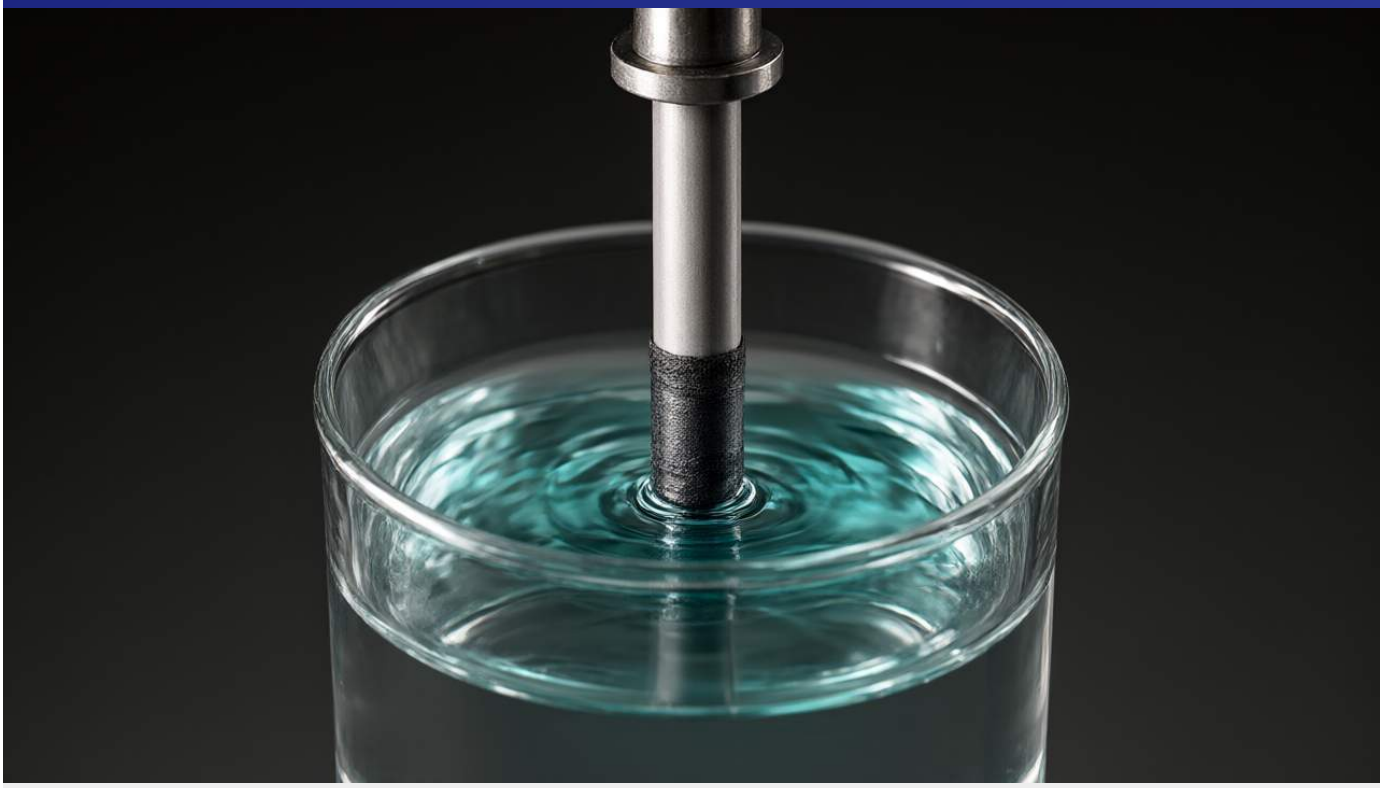

概要

ポリピロールで機能化したTi3C2 MXeneナノ複合体を用いた、水中の有害な鉛（Pb2+）イオンを高感度に検出できる電気化学センサーが開発されました。この電極は2〜20 μMの濃度範囲で線形応答を示し、検出限界は0.09 μMを達成しています。化学的に残留しやすく健康被害を引き起こす鉛のモニタリングにおいて、効率的かつ信頼性の高い検出手法を提供します。

詳細

主要成果

ポリピロール（PPy）で機能化したTi3C2 MXeneナノ複合体修飾電極により、水中に含まれる毒性の高い鉛（Pb2+）イオンの高感度な電気化学的検出が可能になりました。電気化学的な試験の結果、このセンサーは鉛イオン濃度2〜20 μMの範囲で線形な検出応答を示し、検出限界は0.09 μMであることが確認されています。また、定量的な感度に加えて、鉛イオンに対する優れた選択性、信頼性の高い再現性、および動作安定性を備えていることが実証されました。

技術・詳細

本研究で開発された「PPy@Ti3C2ナノ複合体」は、in situ（その場）酸化重合プロセスを通じて合成されています。この手法を用いることで、導電性ポリマーであるポリピロールをTi3C2 MXene構造上に直接かつ均一に統合し、構成相の間で強力な界面相互作用を構築することに成功しました。構造および表面分析により、複合体が豊富な活性部位を持ち、電子特性が向上していることが確認されています。

センサーの性能向上は、ハイブリッド材料内で機能する複数の相乗的なメカニズムによるものです。特に、MXene層と導電性ポリマーの間の界面電子変調が、電気化学プロセスにおける電荷移動の高速化を促進しています。これにより、極めて低い濃度まで検出可能な高感度センサーが実現しました。

背景・業界の文脈

水環境における鉛イオンの検出は、極めて重要な課題です。鉛は化学的に残留性が高く、人体に深刻な健康被害をもたらすため、環境中の微量な鉛を正確にモニタリングする技術が求められてきました。MXene（マキシン）は優れた導電性と表面特性を持つ二次元材料として注目されていますが、本研究ではそこに窒素を多く含む導電性ポリマーを機械的に方向付けられた機能化手順で組み込むことで、センシング能力をさらに強化しています。

今後の展望

著者らは、今回の手法がMXeneの機能化における簡便かつ効率的な戦略であると強調しています。この技術は、鉛だけでなく、他の重金属イオンの信頼性の高い電気化学的モニタリングへの応用が期待される、実用的なアプローチとなります。

元記事: https://bioengineer.org/functionalized-ti3c2-mxene-nanocomposite-enables-sensitive-electrochemical-detection-of-lead-ions/

収集日: 2026年11月21日 | 自動記事収集・翻訳システム (AI使用)